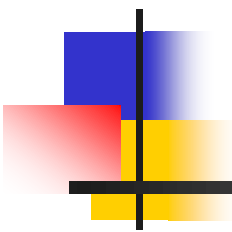


# Использование графического оборудования для обработки видеоданных



---

Марат Арсаев

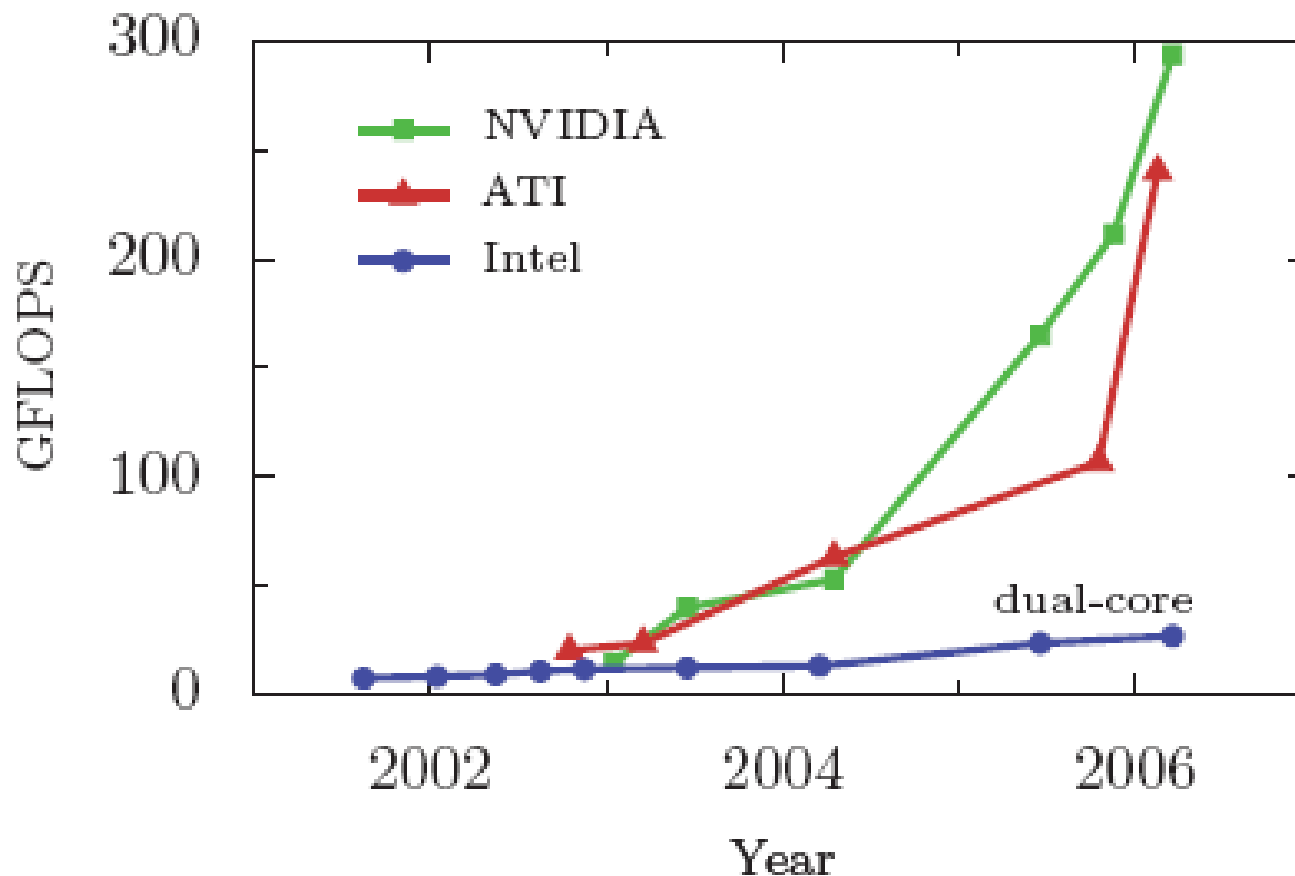
Video Group  
CS MSU Graphics & Media Lab

# Содержание доклада

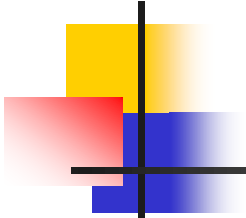
---

- **Введение**
- Обзор архитектуры графического оборудования
- Использование на практике
- Мои цели и задачи

# Введение



“A Survey of General-Purpose Computation on Graphics Hardware”, John D. Owens, David Luebke, Naga Govindaraju,



# Введение

---

Чем обусловлено преимущество?

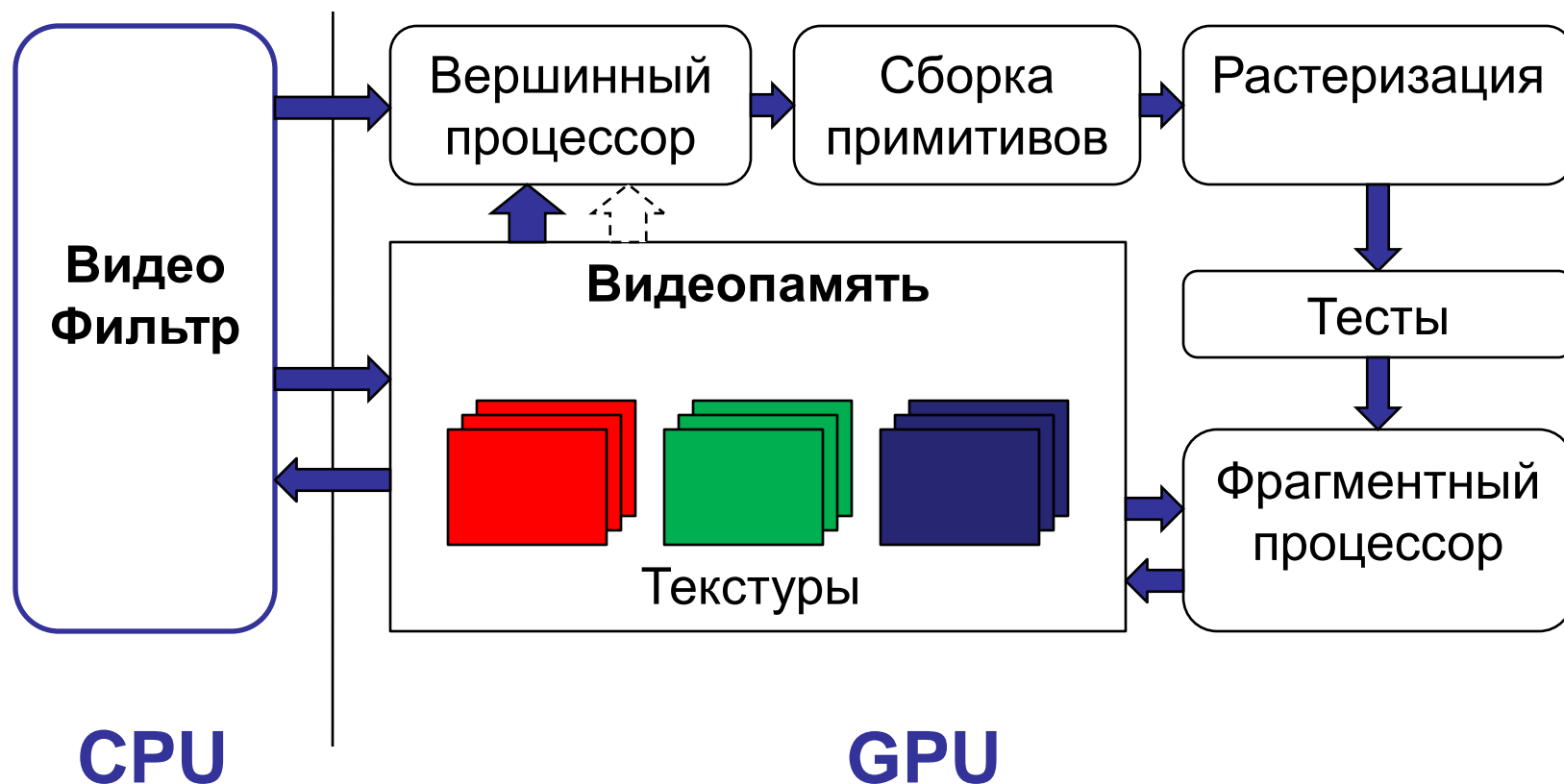
- до 160(ATI)/240(NVIDIA)  
программируемых процессоров
- высокая степень распараллеливания
- наличие специфических операций

# Содержание доклада

---

- Введение
- **Обзор средств программирования и архитектуры GPU**
- Использование на практике
- Мои цели и задачи

# Архитектура GPU



# Перенос задачи на GPU

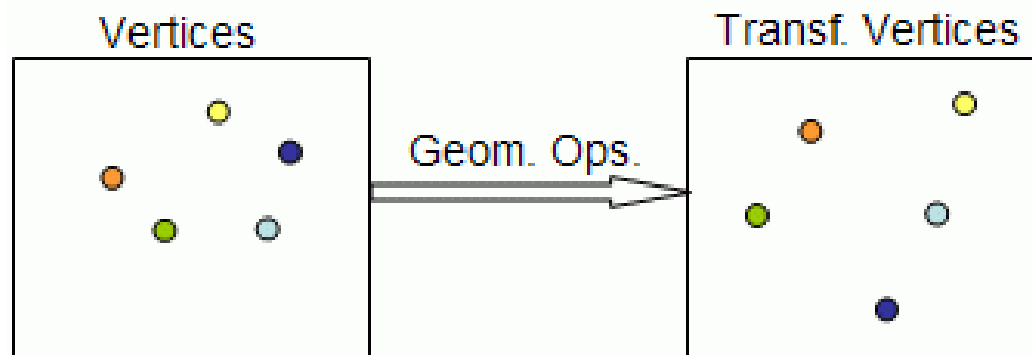


Основные концепции:

- Массив данных – текстура
- Вычисления – шейдерная программа
- Запуск вычислений – рисование в буфер кадров

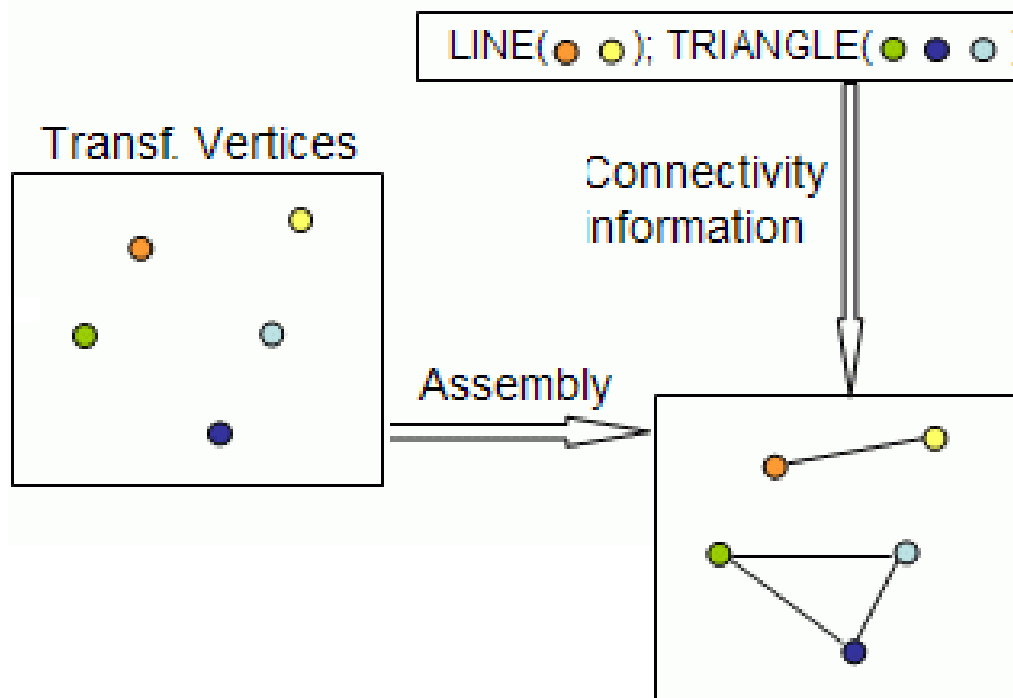
# Вершинный процессор

- На вход – вершины с атрибуты
- Добавление, изменение атрибутов
- На последнем оборудовании - медленный доступ к текстурам



# Сборка

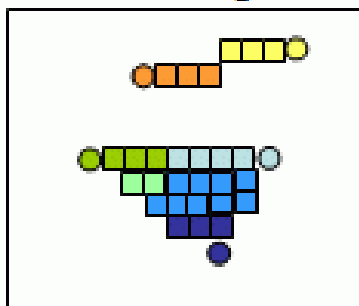
- На вход - преобразованные вершины и информацию о их связях
- Формирование фигур



# Растреризация

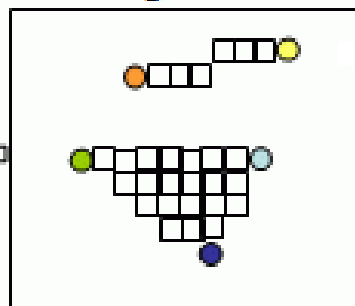
- Формирует фрагменты и координаты конечных пикселей
- Интерполирует атрибуты вершин

Colored Fragments

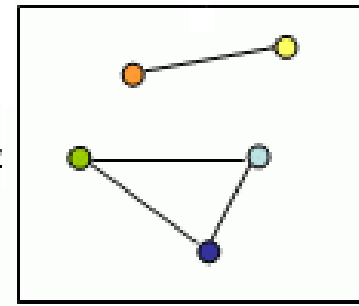


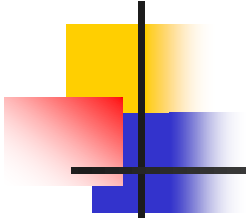
Interpolation

Fragments



Raster





# Тесты

---

- Тест глубины
- Тест по шаблону
- Позволяют разбить или избежать ненужных вычислений

# Фрагментный процессор



- На вход - пиксель с атрибутами
- Формирование цвета
- Одновременное вычисление нескольких наборов данных

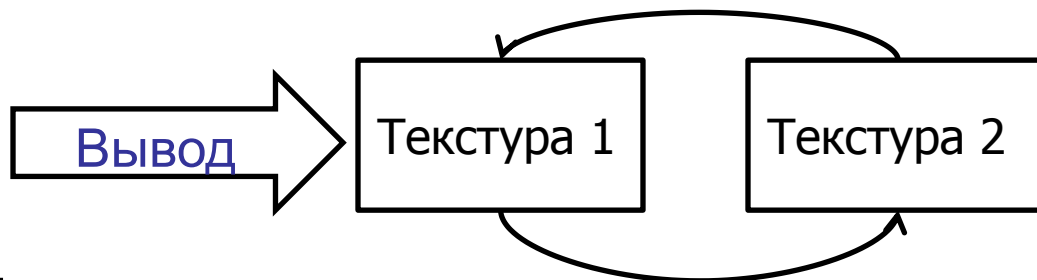
# Видеопамять

---

- Текстура – место хранения промежуточных и конечных результатов вычислений
- Параметры текстуры:
  - Texture target
  - Texture format
  - Render target

# Вычисления в несколько проходов

- Используется метод пинг-понга



- Применение:
  - редукция
  - вычисление сложных алгоритмов

# Редукция

- Производится для вычислений по некоторой области
- Рисование производится в 4 раза меньшую область

47	2	3	57	5	12	7	8
10	20	6	13	14	15	16	17
19	11	21	22	23	68	25	26
38	29	64	31	32	33	35	34
37	28	39	49	53	42	41	52
46	1	48	40	61	51	44	43
55	71	4	58	69	62	50	60
30	65	66	67	24	59	70	56

47	57	15	17				
38	64	68	35				
46	49	61	52				
71	67	69	70				

64	68
71	70

71
----

# Обзор средств программирования



- ARB
- High level languages
  - HLSL\Cg
  - GLSL
  - other – Brook+, Lib Sh...
- CUDA, AMD Stream

# ARB

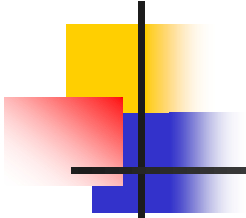
- Ассемблерный язык
- Не поддерживает контроль программы
- Используется для совместимости на низком уровне

```
!!ARBfp1.0
TEMP color;
MUL color, fragment.texcoord[0].y
, 2.0;
ADD color, 1.0, -color;
ABS color, color;
ADD result.color, 1.0, -color;
MOV result.color.a, 1.0;
END
```

# HLSL

- C-подобный язык программирования
- Пользовательские функции
- Типы данных – **bool**, **fixed**, **half**
- Работает под DirectX начиная с версии 9.0

```
void main( in v2p IN, out p2f OUT )  
{  
    float4 color = tex2D(tex0, IN.TextureCoord0);  
    OUT.Color = brightness * IN.Color * color; }  
}
```



# Cg

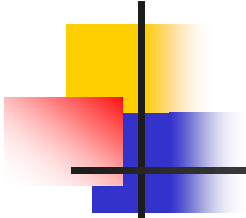
---

- Практически идентичен HLSL
- Работает через OpenGL или DirectX
- Расширение структур
- Использование профайлов

# GLSL

- С-подобный язык программирования
- Часть спецификации OpenGL 2.0
- Некоторые отличия от HLSL в производительности

```
varying vec2 texture_coordinate;  
uniform sampler2D my_color_texture;  
void main()  
{  
    gl_FragColor = texture2D(my_color_texture,  
texture_coordinate); }
```



# CUDA

---

- Расширение языка C
- Не требует знания архитектуры видеокарты
- Доступен только на последнем оборудовании NVIDIA

# AMD Stream

- Расширение языка Brook
- SDK содержит оптимизированные библиотеки основных функций для ATI
- Поддерживает OpenCL
- Совместим только с потоковыми GPU ATI

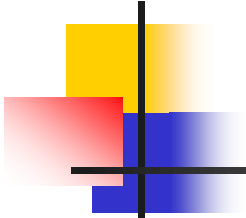
# Обзор средств программирования

	<b>Доступ к данным</b>	<b>Набор инструкций</b>	<b>Поддержка GPU</b>	<b>Абстракция</b>
<b>ARB</b>	текстура	суженный	практически все	на уровне языка
<b>GLSL</b>	текстура	полный	зависит от версии шейдеров	на уровне шейдера
<b>Cg (HLSL)</b>	текстура	полный	зависит от версии шейдеров	на уровне шейдера
<b>CUDA (AMD Stream)</b>	прямой доступ	C-подобный (Brook+)	NVidia (ATI) последних поколений	на уровне основной программы

# Содержание доклада

---

- Введение
- Обзор архитектуры графического оборудования
- **Использование на практике**
- Мои цели и задачи



# GPU-KLT feature tracking

GPU\_KLT:

A GPU-based Implementation of the  
Kanade-Lucas-Tomasi Feature Tracker

# Необходимые вычисления

- цель – нахождение смещения  $\mathbf{d}$  с целью минимизации ошибки  $r$

$$r = \sum_W (I(\mathbf{x} + \mathbf{d}, t) - I(\mathbf{x}, t + \Delta t))^2$$

$\mathbf{x}$  – текущая точка

$\mathbf{d}$  - смещение

$I$  - изображение

$\begin{bmatrix} \frac{\partial I}{\partial x} & \frac{\partial I}{\partial y} \end{bmatrix}$  - вектор градиента изображения в т.  $\mathbf{x}$

- нахождение точек интереса

$$c = \min \left( \text{eig} \left( \sum_W \begin{bmatrix} \frac{\partial I}{\partial x} & \frac{\partial I}{\partial y} \end{bmatrix}^T \begin{bmatrix} \frac{\partial I}{\partial x} & \frac{\partial I}{\partial y} \end{bmatrix} \right) \right)$$

“Feature Tracking and Matching in Video Using Programmable Graphics Hardware” Sudipta N. Sinha, Jan-Michael Frahm, Marc

Pollefeys, Yakup Genc

# Необходимые вычисления

- трекинг реализуется решением уравнения

$$\underbrace{\left( \sum_W \mathbf{G}^T \mathbf{G} \right)}_A (\mathbf{d}) = \underbrace{\sum_W \mathbf{G}^T \Delta \mathbf{I}(\mathbf{x}, \Delta t)}_b$$

- $\mathbf{G}$  – градиент в точке  $\mathbf{x}$ , представляется в симметрическом виде:

$$\mathbf{G} = \left[ \frac{\partial(I(*, t) + I(*, t + \Delta t))}{\partial x} \quad \frac{\partial(I(*, t) + I(*, t + \Delta t))}{\partial y} \right]$$

# GPU-KLT feature tracking

**KLT Tracking** ( $ft\_list, F_0, F_1$ ) {

(1) **Build-Pyramid:** builds multi-resolution intensity and gradient pyramid from images  $F_0, F_1$

(2) **Track:**

For all pyramid levels from coarse to fine

For multiple iterations

For each feature  $f$  in  $ft\_list$

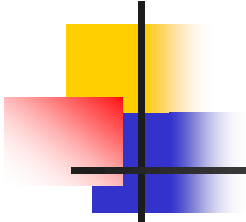
compute coefficients of  $\mathbf{A}$  and  $\mathbf{b}$  as  
shown in Equation 1.

solve  $\mathbf{A} \mathbf{d} = \mathbf{b}$

evaluate  $\mathbf{d}$  and update track of feature

}

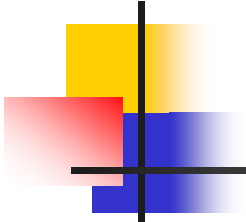




# Build-Pyramid

---

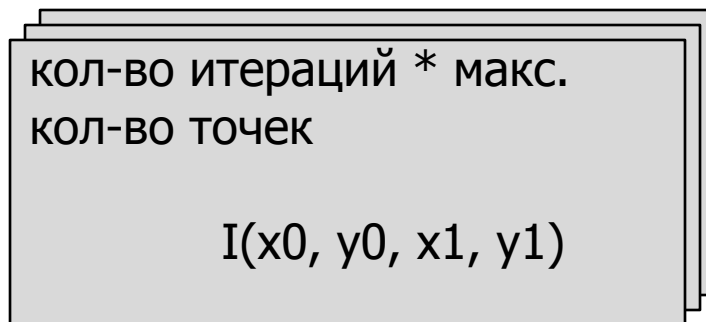
- Используемые данные :
  - 2 входных изображения
  - набор текстур для пирамиды формата RGBA
- Размытие для градиента



# Track

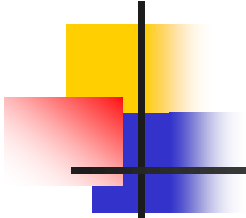
---

- Используемые данные:
  - набор текстур для представления точек



\* кол-во уровней

- временные текстуры для решения уравнения



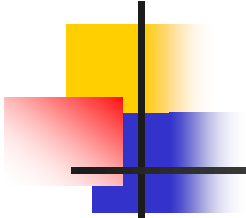
# Track

---

- 4 прохода :
  - интерполяция яркости и градиента вокруг каждой следующей точки (7x7)
  - вычисление матрицы **A** и вектора **b**
  - решение уравнения
- после каждой итерации проверка и выгрузка результатов в следующую строку текстуры
- выгрузка на CPU

# GPU-KLT feature tracking

```
Re-select-Features (ft_list) {  
    mask = mask_out_region (ft_list)  
    c_map = evaluate_corner-ness  
            measure c over whole image  
    // Perform non-maximal suppression  
    pts    = find_features (#max_feats,  
                          mask, sort (c_map))  
    add_new_features (ft_list, pts)  
}
```



# Feature re-select

---

- использование ранней фильтрации для определения шаблона поиска
- 2 прохода
  - вычисление элементов матрицы окна  $7 \times 7$
  - подсчет минимального хар. значения
- результат – 8битовая текстура

# Feature re-select

- фильтрация алгоритмом подавления в  
ТОЧКАХ ОТСУТСТВИЯ МАКСИМУМА

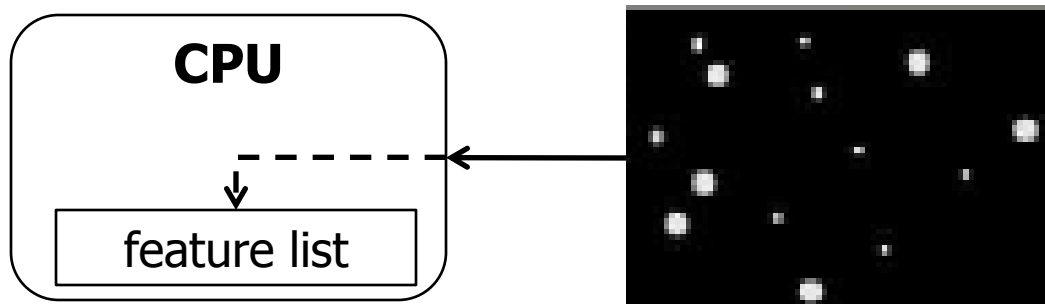
```
void main(uniform sampler2D src_tex : TEXUNIT0,  
          float2 st0 : TEXCOORD0,  
          uniform float2 ds,  
          out float4 color : COLOR)  
{  
    float maxCornersness = pack_4ubyte(tex2D(src_tex, st0));  
    ...  
}
```

# Feature re-select

```
for (int i = -MIN_DIST; i < 0; ++i)
{
    float cornerness = abs(pack_4ubyte(tex2D(src_tex, st0 + i*ds)));
    maxCornerness = (cornerness >= abs(maxCornerness)) ?
                    (-cornerness) : maxCornerness;
}
...
color = unpack_4ubyte(maxCornerness);
}
```

# Feature re-select

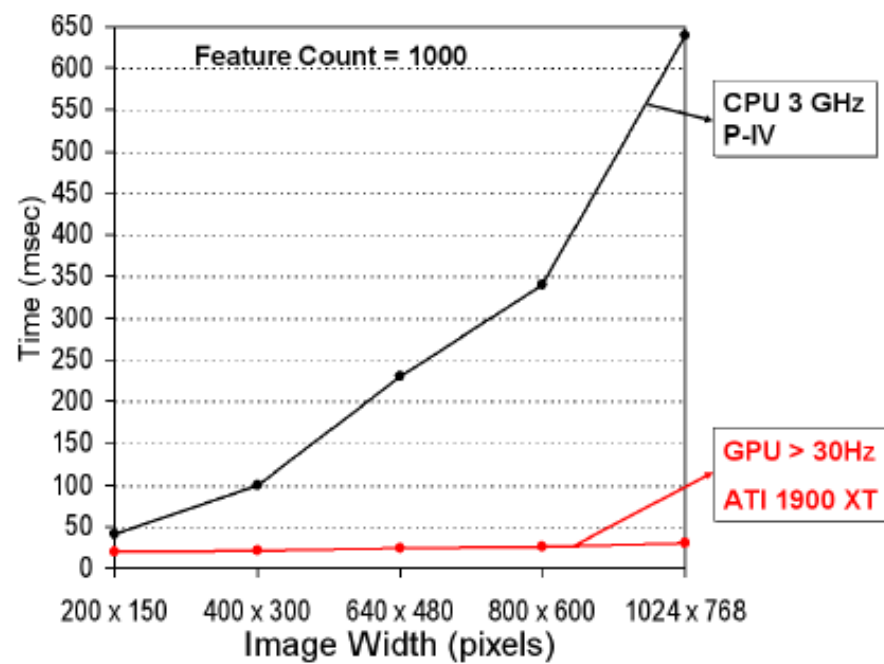
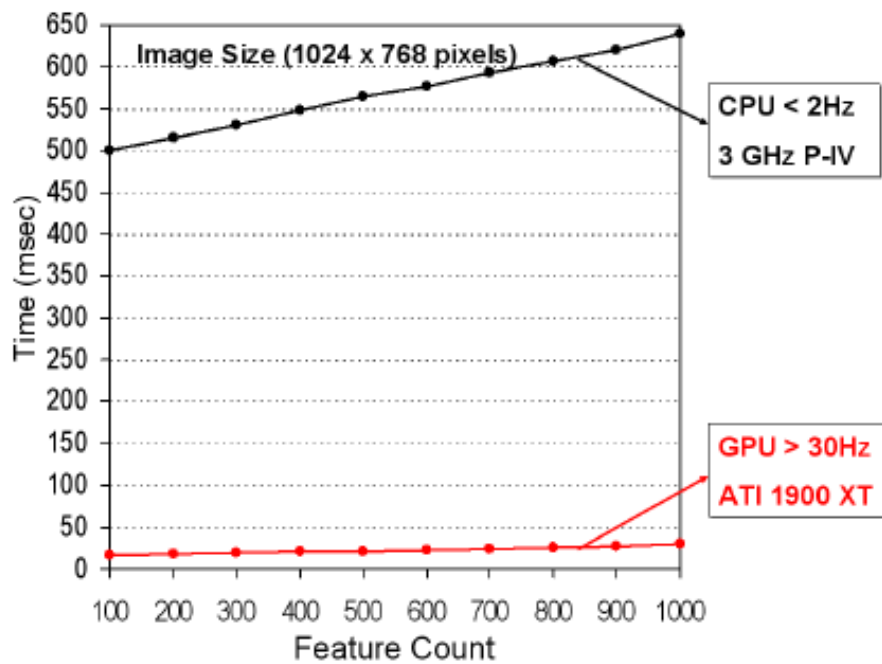
- результат выгружается на CPU



- сортировка и добавление лучших точек

# GPU-KLT feature tracking: производительность

Real-time обработка видео 1024x768 – 30fps



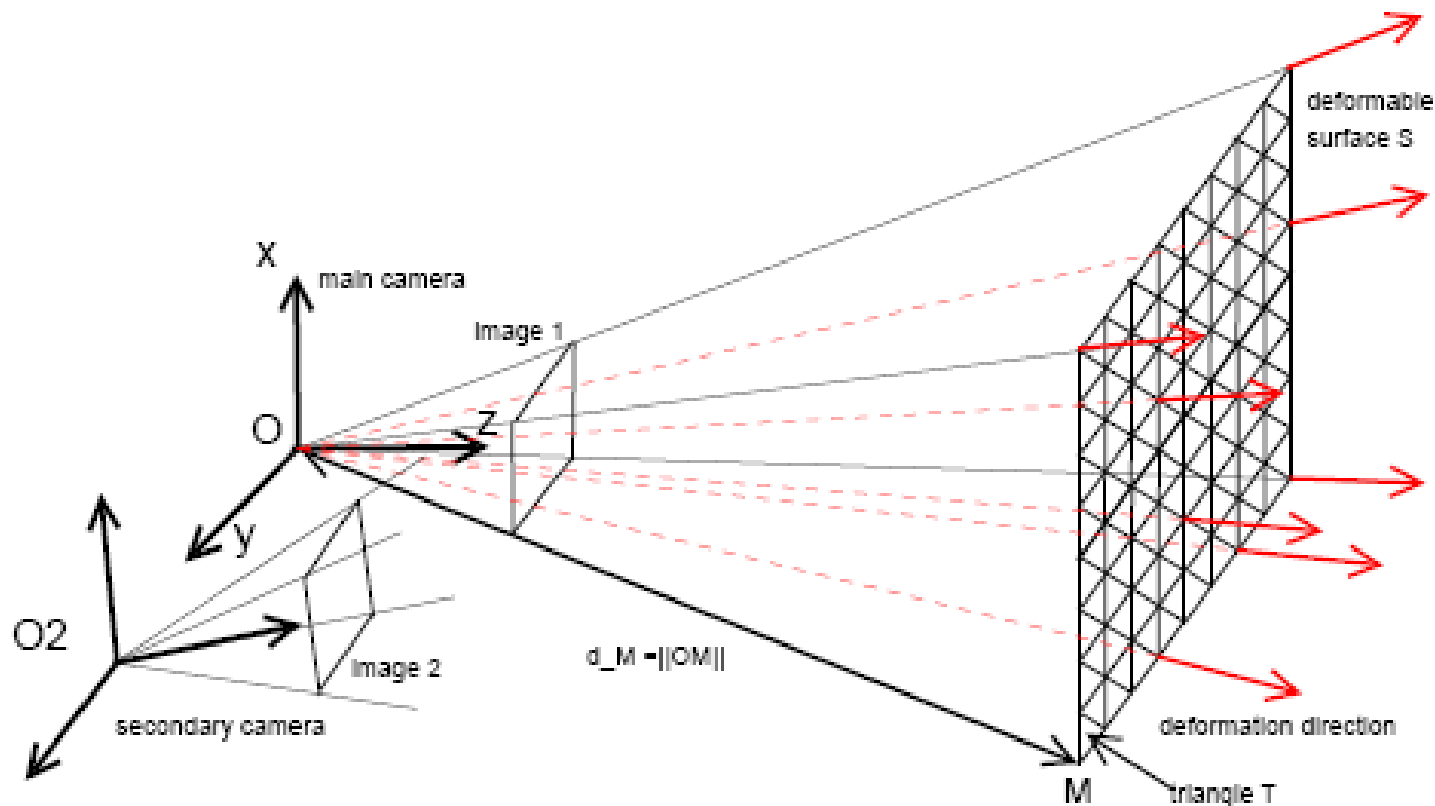
# Fast and efficient dense variational stereo on GPU

---

- Цель – построение 3D модели по 2-м изображениям
- Увеличение точности за счет 3-ей камеры
- Построение видео 3D модели

# Fast and efficient dense variational stereo on GPU

- Цель – построение 3D модели по стерео-изображению



# Необходимые вычисления

$$E(S) = \int_S (1 - \rho(I_1 \circ \Pi_1, I_2 \circ \Pi_2, m)) dS(m)$$

$$E(S) = \sum_T E_T = \sum_T (1 - \rho_T(I_1 \circ \Pi_1, I_2 \circ \Pi_2))$$

$$\rho_T = \frac{\langle I_1, I_2 \rangle}{|I_1| \cdot |I_2|}$$

$$\langle I_1, I_2 \rangle = \frac{1}{A_T} \int_T (I_1 \circ \Pi_1(m) - \overline{I_1 \circ \Pi_1}) (I_2 \circ \Pi_2(m) - \overline{I_2 \circ \Pi_2}) dm$$

$$\overline{I_i \circ \Pi_i} = \frac{1}{A_T} \int_T I_i \circ \Pi_i(m) dm$$

$$|I_i| = \sqrt{\langle I_i, I_i \rangle}$$

## 1) Подсчет энергии:

**S** – 3D модель

**T** – отдельный  
треугольник

**I** – изображение

**П(m)** – проекция  
точки **m** на фигуру

**A** – площадь тр-ка

# Необходимые вычисления

## 2) Подсчет градиента:

$M$  – точка

$V(M)$  – ее соседи

$d$  – расстояние до камеры

$$\frac{\partial E(S)}{\partial d_M} = \sum_{T \in V(M)} \frac{\partial E_T}{\partial d_M}$$

СВОДИТСЯ К ВЫЧИСЛЕНИЮ ВЕЛИЧИНЫ  $\frac{\partial I_i \circ \Pi_i(m)}{\partial d_M}$

“Fast and efficient dense variational stereo on GPU”

Julien Mairal, Renaud Keriven and Alexandre Chariot

Proceedings of the Third International Symposium on 3D Data

Processing, Visualization, and Transmission (3DPVT'06)

# Алгоритм на GPU

Вычисление градиента:

$$D_{i,k}(\alpha_1, \alpha_2, \alpha_3) = \frac{\partial I_i \circ \Pi_i(p)}{\partial d_{M_k}}$$

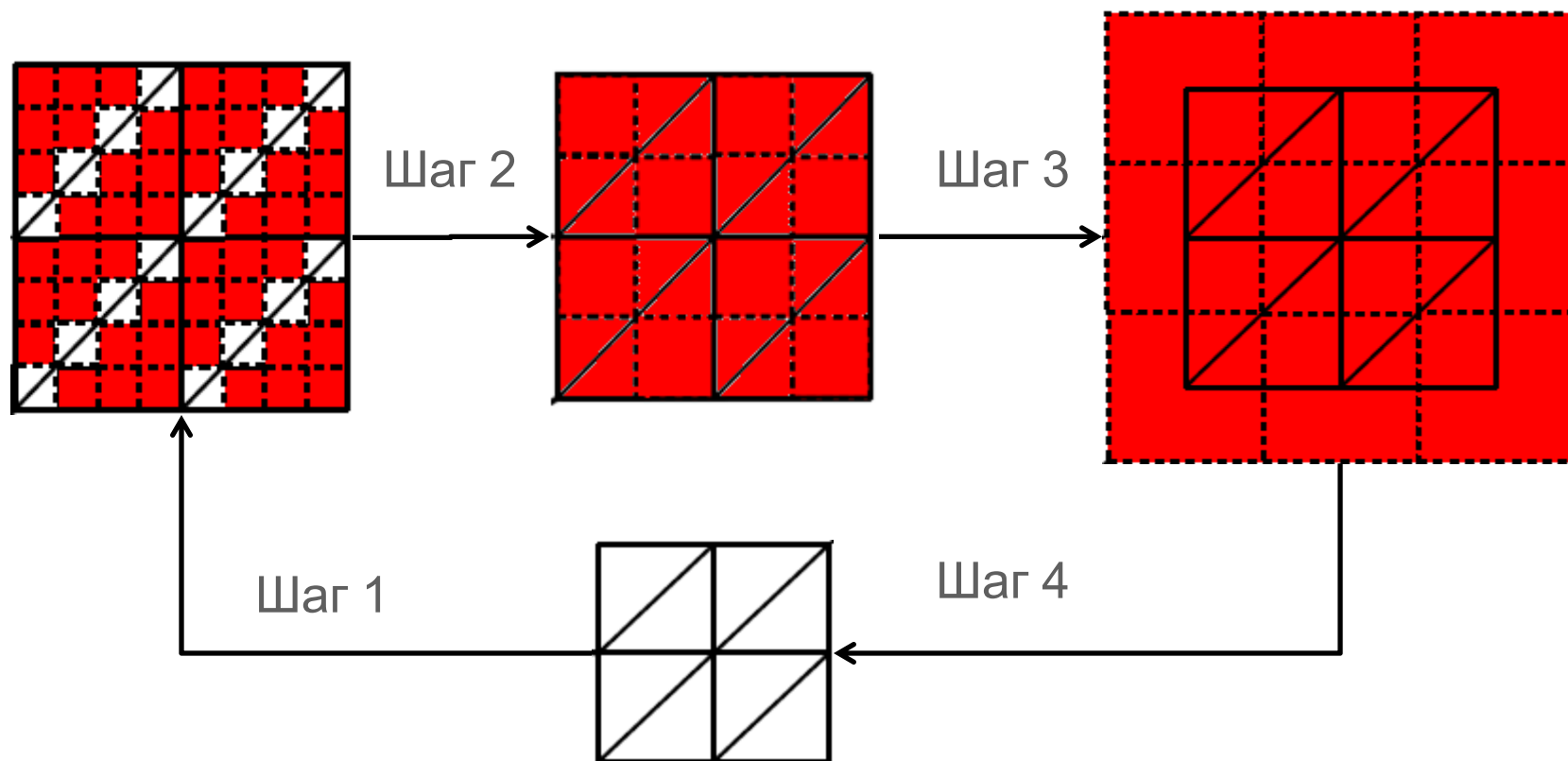
После прямого вычисления :

$$D_{i,k}(\alpha_1, \alpha_2, \alpha_3) = g_i(\alpha_k f_i(M_k), \Pi_i(p), (\nabla I_i) \circ \Pi_i(p))$$

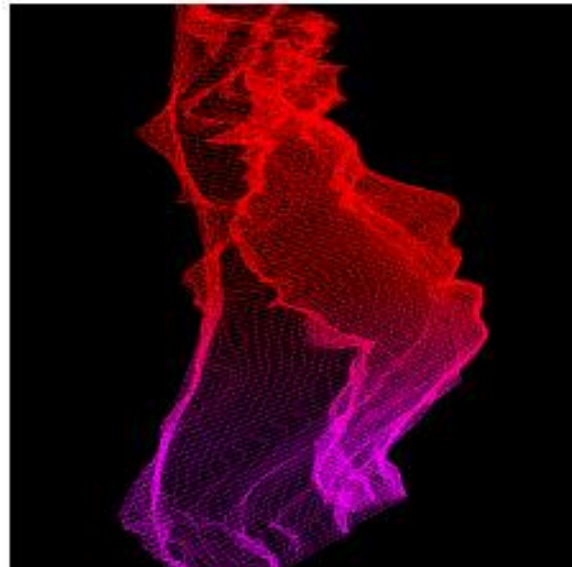
$$\Pi_i(p) = \alpha_1 \Pi_i(M_1) + \alpha_2 \Pi_i(M_2) + \alpha_3 \Pi_i(M_3)$$

$$i = 1, 2; \quad k = 1, 2, 3; \quad p \in T$$

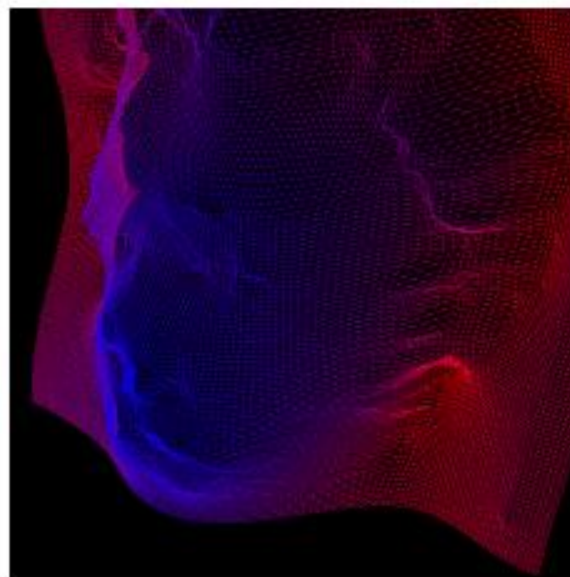
# Алгоритм на GPU

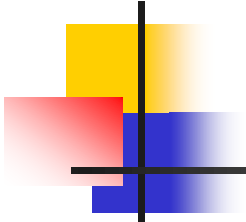


# Fast and efficient dense variational stereo on GPU



# Две камеры - неточности



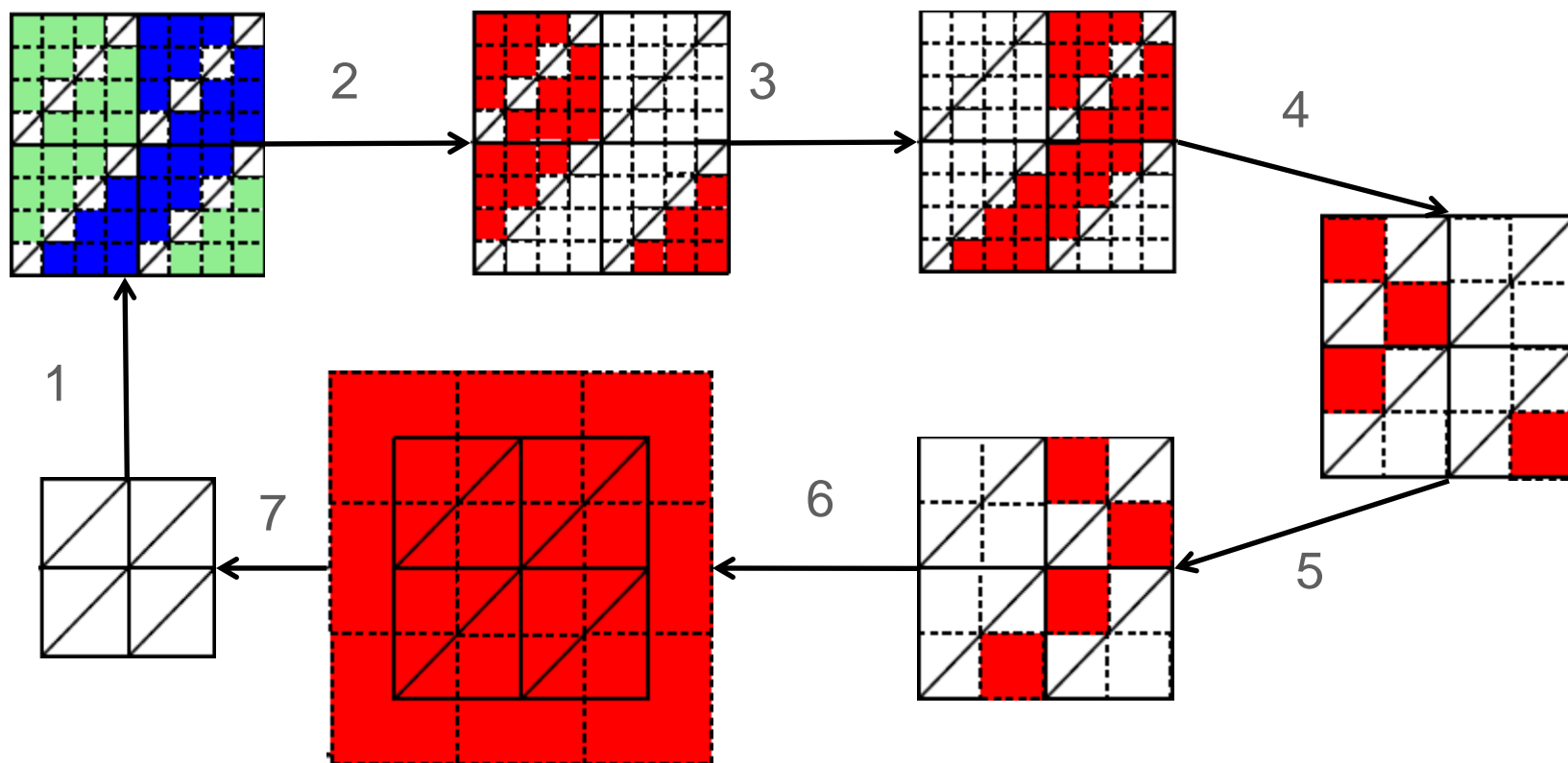


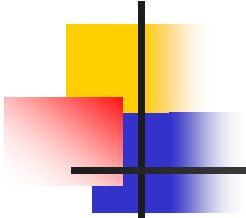
# Три камеры

---

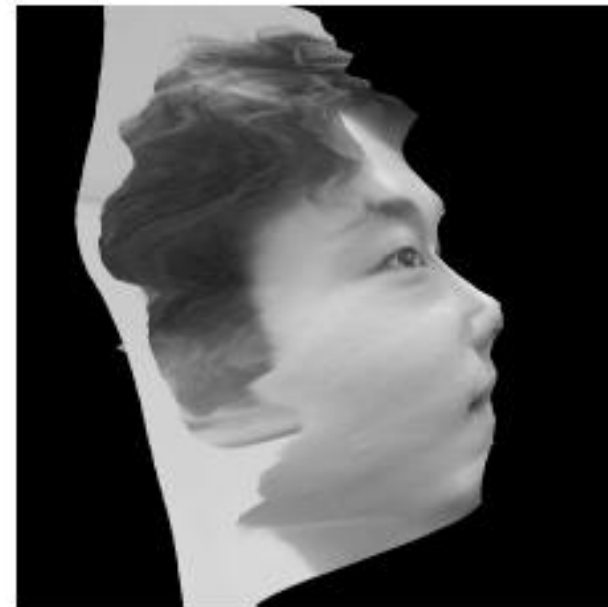
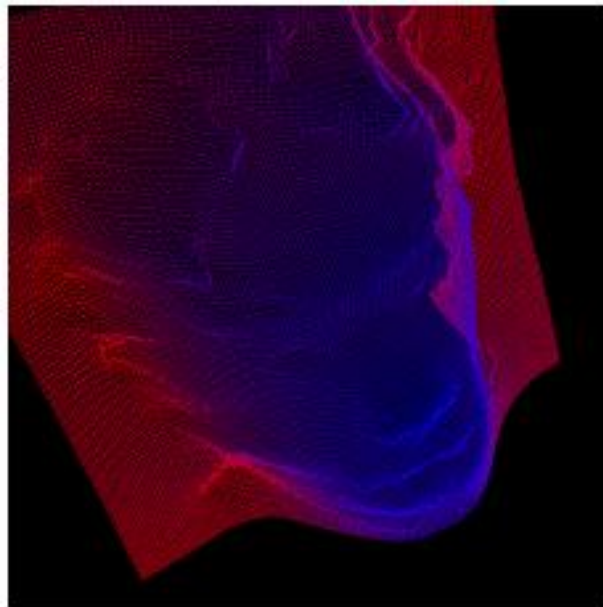
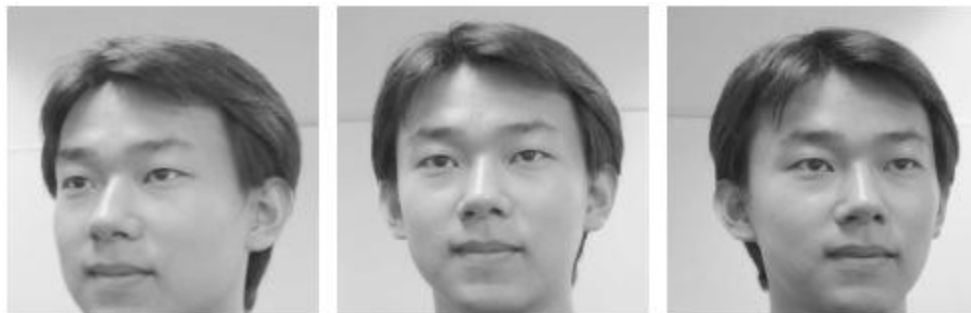
- Классификация треугольников
  - Отбрасывание невидимых частей
  - Принцип ближнего
- Последовательный просчет модели

# Три камеры





# Результаты



# Содержание доклада

---

- Введение
- Обзор архитектуры графического оборудования
- Использование на практике
- **Мои цели и задачи**

# Список литературы

- **“A Survey of General-Purpose Computation on Graphics Hardware”**, John D. Owens, David Luebke, Naga Govindaraju, Computer Graphics Forum, 2007
- **“Feature Tracking and Matching in Video Using Programmable Graphics Hardware”** Sudipta N. Sinha, Jan-Michael Frahm, Marc Pollefeys, Yakup Genc, submitted to Machine Vision and Applications, July 2006
- **“Fast and efficient dense variational stereo on GPU”**, Julien Mairal, Renaud Keriven and Alexandre Chariot, Proceedings of the Third International Symposium on 3D Data Processing, Visualization, and Transmission (3DPVT'06)
- **“High-Level GPU Programming, Domain-specific optimization and inference”** Calle Lejdfors, Doctoral dissertation, Department of Computer Science, Lund University, 2008
- **“The GPU and Graphic Algorithms”** , Ivo Hanak, State of the Art and Concept of PhD Thesis, 2005

# Лаборатория компьютерной графики и мультимедиа



Видеогруппа это:

- Выпускники в аспирантурах Англии, Франции, Швейцарии (в России в МГУ и ИПМ им. Келдыша)
- Выпускниками защищено 5 диссертаций
- Наиболее популярные в мире сравнения видеокодеков
- Более 3 миллионов скачанных фильтров обработки видео